# INF05010 Otimização Combinatória Trabalho Final:

# Algoritmo Memético para o Problema da Ordenação Linear

27 de novembro de 2013

# 1 Introdução

O objetivo deste trabalho foi implementar uma meta-heurística para resolver o problem de ordenação linear. A meta-heurística escolhida foi um algoritmo memético, cujos detalhes serão expandidos na seção 5.

O problema da ordenação linear é definido como segue: dado um digrafo completo G = (V, A), deseja-se encontrar um torneio  $A' \subseteq A$  tal que o grafo (V, A') não contenha ciclos direcionados, e a soma dos pesos de A' seja máxima. Além disto, para cada  $i, j \in V$ , exatamente um dentre (i, j) e (j, i) pode fazer parte do torneio. Este problema é conhecidamente  $\mathcal{NP}$ -Difícil[5].

O problema também pode ser formulado da seguinte maneira: dada uma matriz  $A_{n\times n} \in \mathbb{R}^{n\times n}$ , encontrar uma permutação de linhas e colunas que maximize a soma dos valores acima da diagonal principal.

# 2 Formulação do programa inteiro

**Variáveis:**  $x_{ij} \in \{0,1\} \ \forall (i,j) \in A$ , tal que  $x_{ij} = 1$  se a aresta (i,j) está no torneio, e  $x_{ij} = 0$  se ela não está.

Função Objetivo:

$$\max \sum_{(i,j)\in A} x_{ij} a_{ij}$$

Restrições:

$$x_{ij} + x_{ji} = 1 \forall i, j \in V, i \neq j (1)$$

$$x_{ij} + x_{jk} + x_{ki} \le 2 \qquad \forall i, j, k \in V, i \ne j \ne k$$
 (2)

$$x_{ij} \in \{0, 1\} \tag{3}$$

A restrição (1) cuida para que exista apenas uma aresta ligando cada par de vértices.

A restrição (2) utiliza o fato de que um torneio é acíclico se e somente se ele não contém um ciclo direcionado de tamanho 3 [4]. Ou seja, para cada trio de vértices, pode haver no máximo duas arestas entre as que os conectam em ordem.

É facil de observar que a restrição genérica (1) expande para  $\binom{n}{2}$  restrições, a (2) para  $\binom{n}{3}$  restrições, e a (3) para  $n^2$  restrições não triviais. Desta forma, temos  $\frac{n^3}{6} + n^2 - \frac{n}{6}$  restrições ao total, e  $n^2$  variáveis.

# 3 Elementos genéticos

Para o algoritmo genético, é necessário associar alguns elementos do problema a elementos do mundo real.

**Cromossomo**: Uma permutação  $p = (p_1, p_2, ..., p_n)$  de 1..n.

**Gene**: Dado um cromossomo  $p = (p_1, p_2, ..., p_n)$ , cada elemento  $p_i$  da permutação pode ser visto como um gene.

**Genótipo/Fenótipo**: Uma matriz  $c_{n\times n}=(c_{p_1},c_{p_2},...,c_{p_n})$  onde  $c_i=(a_{i,p_1},a_{i,p_2},...,a_{i,p_n})$  para algum cromossomo p e uma instância com matriz de entrada a.

**População**: Um conjunto de permutações de 1..n.

# 4 Parâmetros

population\_size : tamanho da população, inteiro entre 1 e n!.

crossover\_rate : taxa de crossover, número real entre 0 e 1.

mutation\_rate : taxa de mutação, número real entre 0 e 1.

 $do\_local\_search$ : booleano, true para realizar busca local, e false para não realizá-la.

max\_non\_improving\_generations : critério de terminação, número inteiro maior do que 1, diz que o algoritmo terminará após serem avaliadas max\_non\_improving\_generationsgerações que não aumentam o valor da melhor solução.

max\_time : tempo limite: o algoritmo executará por, no máximo, max\_time segundos.

random\_seed : semente randômica inicial, utilizada para gerar números aleatórios durante a execução. É garantido que, para uma mesma semente e mesmos parâmetros, a solução seja igual em diferentes execuções.

# 5 O algoritmo

#### Algorithm 1 Algoritmo Memético

```
1: população \leftarrow GerarPopulaçãoInicial();
 2: melhor\_solução \leftarrow melhor elemento na população inicial.
 3: while not CriteriosDeParada() do
        nova\_população \leftarrow \emptyset
 4:
        while size(nova\_população) \neq population\_size and not CriteriosDeParada() do
 5:
            EscolheDoisIndivíduos(), chame-os p1 e p2.
 6:
 7:
            if random[0, 1) > crossover\_rate then
                filho \leftarrow \text{Crossover}(p1, p2)
 8:
            else
 9:
10:
                filho \leftarrow melhor entre p1 e p2.
            end if
11:
            if random[0, 1) > mutation\_rate then
12:
                filho \leftarrow \text{Mutação}(filho)
13:
            end if
14:
            if do_local_search then
15:
                filho \leftarrow \text{BuscaLocal}(filho)
16:
            end if
17:
            if filho > melhor_solução then
18:
                melhor\_solução \leftarrow filho
19:
20:
            end if
            nova\_população \leftarrow nova\_população \cup \{filho\}
21:
22:
        end while
        população \leftarrow nova\_população
23:
24: end while
```

#### 5.1 Geração da população inicial

Gera-se population\_size permutações randômicas, e aplica-se busca local a cada uma delas.

#### 5.2 Escolha de indivíduos para crossover

A escolha de indivíduos é feita por torneio: seleciona-se k elementos aleatórios da população atual, e seleciona-se os dois melhores dentre eles. Na implementação testada, utilizou-se  $k = random(2, 0.2 \times population\_size)$ . O valor 0.2 foi escolhido por ter apresentado bons resultados em avaliações empíricas.

#### 5.3 Crossover

Utilizou-se uma variação do Ordered Crossover  $OX_2$ , como descrito em [3]. Dados dois pais, p1 e p2, são gerados dois filhos, f1 e f2, que inicialmente são iguais aos respectivos pais. Seleciona-se então k índices aleatórios entre 1 e n, e reordena-se os genes correspondentes a estes índices em f1 na ordem que aparecem em p2, assim como os de f2 na ordem que aparecem em p1. Note que esta operação preserva a propriedade que um cromossomo é uma permutação 1..n.

Por exemplo:

```
p1 = (1, 2, 3, 4, 5, 6)

p2 = (6, 5, 4, 3, 2, 1)
```

Seleciona-se aleatoriamente os índices 1, 2, e 4. Em f1, isso corresponde aos genes 1, 2 e 4, que serão

reordenados para a ordem em que aparecem em p2 (4, 2, 1). Em f2, isto corresponde aos genes 6, 4 e 3, que serão reordenados para a ordem que aparecem em p1 (3, 4, 6).

Assim temos:

$$f1 = (4, 2, 3, 1, 5, 6)$$
  
 $f2 = (3, 5, 4, 6, 2, 1)$ 

Uma vez selecionados dois filhos, retorna-se o melhor entre eles. Na implementação testada, utilizou-se k = random(1, 0.5n). O valor 0.5 foi escolhido por ter apresentado bons resultados em avaliações empíricas.

#### 5.4 Mutação

Utilizou-se a técnica k-EM (Exchange Mutation)[1]: escolhe-se 2k índices aleatórios entre 1 e n, e executa-se k operações de swap entre estes itens. Note que esta operação preserva a propriedade que um cromossomo é uma permutação 1..n. Na implementação testada, utilizou-se k = random(1, 0.25n). O valor 0.25 foi escolhido por ter apresentado bons resultados em avaliações empíricas.

#### 5.5 Busca Local

Ao fim de cada iteração, é aplicada uma busca local sobre a nova população gerada, para tentar atingir mínimos locais. Após esta operação, eventuais cromossomos duplicados na população serão removidos.

A operação de vizinhança sobre um cromossomo  $p = (p_1, p_2, ..., p_n)$  é escolher  $i, j \in [n]$  e fazer o swap de  $p_i$  e  $p_j$ . Desta maneira, temos que  $|N(p)| = \binom{n}{2} = \frac{n(n-1)}{2}$ . Note que esta operação preserva a propriedade que um cromossomo é uma permutação 1..n.

As estratégias para a busca local podem ser *FirstImprovement*, a qual realiza o passo de vizinhança para a primeira solução com valor maior, e *BestImprovement*, que verifica toda a vizinhança e realiza o passo para o vizinho que aumenta mais a função objetivo. A busca local termina quando não houver vizinho que aumenta o valor da função objetivo.

Após avaliação empírica, verificou-se que a técnica *BestImprovement* se mostrou muito mais eficiente, tanto em termos de valor da solução como tempo de processamento, que a técnica *FirstImprovement*.

#### 5.6 Critério de terminação

O algoritmo termina quando, após um número pré-definido de gerações  $max\_non\_improving\_generations$ , o valor da melhor solução continua o mesmo, ou então quando um tempo limite  $max\_time$  for atingido.

# 6 Implementação

#### 6.1 Plataforma de implementação

O trabalho foi implementado e testado em sistema operacional Windows 7 Ultimate (64-bit) SP1, com um processador Intel(R) Core(TM) i5-2450M CPU, com 2 núcleos físicos e 2 virtuais de 2.5GHz, com cache L2 de 3072KB e 4GB de memória. A linguagem de programação utilizada foi C++, compilador MSVC12, com flags /W3 /O2.

#### 6.2 Estruturas de dados utilizadas

Para representar a matriz de entrada em memória, utilizou-se um array singular com dimensão  $n \times n$ . Este tipo de representação favorece a representação da matriz na memória cache, já que todas as posições estão contíguas – o que não ocorre caso fosse utilizado um array de arrays.

Para representar uma possível permutação (cromossomo), simplesmente utilizou-se um array de tamanho n. Cada cromossomo também guarda o valor de sua solução, para evitar recálculos desnecessários.

#### 6.3 Cálculo do fitness de um cromossomo

Uma operação muito frequente no algoritmo é executar o swap de duas posições i e j na permutação: ela é usada na busca local (operação dominante no custo temporal) e na mutação.

No entanto, seria extremamente custoso recalcular toda a função fitness para o cromossomo a cada vez que um swap ocorre, já é necessário  $\frac{n^2}{2} - n = O(n^2)$  operações para calcular o valor do triângulo superior da matriz.

Portanto, a seguinte estratégia foi adotada: subtrai-se as contribuições das colunas e linhas i e j do valor armazenado, executa-se o swap, e soma-se as novas contribuições das colunas e linhas i e j, desta vez com os valores trocados. Esta técnica resulta em 4(n-1) = O(n) operações aritméticas.

# 6.4 Paralelização

Observando-se o pseudocódigo do algoritmo, pode-se concluir sem muita dificuldade que o algoritmo é paralelizável: o segmento de código que vai da linha 6 à linha 20, e que executa as operações mais computacionalmente custosas, pode ser executado paralelamente, já que acessa elementos da população atual sem modificá-los, modificando somente variáveis locais.

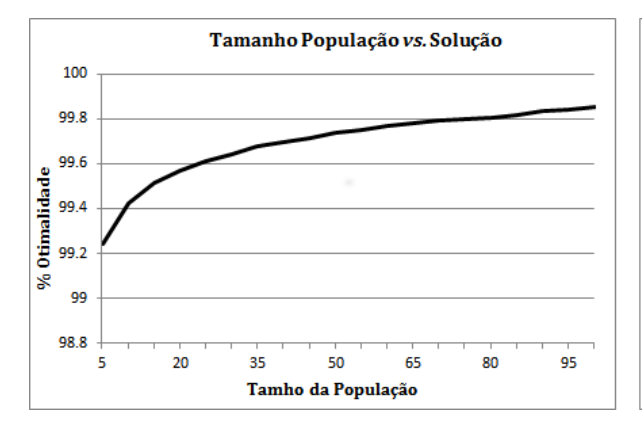
No entanto, isto não preservaria a reprodutibilidade dos experimentos, razão pela qual o paralelismo não foi implementado neste trabalho. Isto ocorre pois a ordem em que as threads irão requisitar números aleatórios do gerador randômico é imprevisível.

# 7 Testes de parâmetros

Para os seguintes testes, variou-se cada parâmetro de entrada separadamente, para tentar determinar qual a configuração mais adequada. Cada um dos parâmetros foi testado com 100 instâncias de tamanho entre 30 e 50, geradas randomicamente. Cada teste foi executado 5 vezes, com sementes aleatórias distintas. Para cada teste, mediu-se o tempo de execução, que foi normalizado para o valor do primeiro tempo registrado, e o valor da solução obtida, que foi normalizado para o melhor valor obtido dentre todos os testes.

#### 7.1 Teste do parâmetro population\_size

O valor de *population\_size* foi variado entre 5 a 100, com incrementos de 5. O teste foi executado sem crossover e sem mutação. A Figura 1 mostra os resultados.



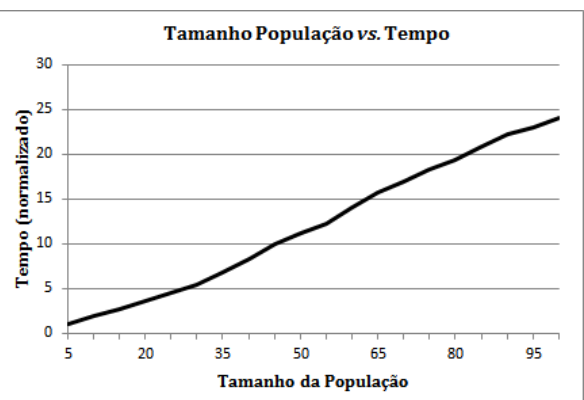


Figura 1: Variação do parâmetro population\_size

Este é, sem dúvida, o parâmetro mais significativo do algoritmo. Analisando os resultados, observa-se que o percentual de otimalidade cresce de maneira aproximadamente logarítmica conforme cresce o tamanho da população, enquanto o tempo demandado cresce de maneira claramente linear. Conclui-se que é razoável

escolher um tamanho de população entre 30 e 50: maiores valores trarão um benefício pequeno ao compararse com o aumento considerável no tempo, enquanto valores menores poderiam ser melhorados com um custo temporal pequeno.

#### 7.2 Teste do parâmetro crossover\_rate

O valor de *crossover\_rate* foi variado entre 0.0 a 1.0, com incrementos de 0.05. O teste foi executado sem mutação, com uma população de tamanho 40, e no máximo 10 gerações não-melhorantes. A Figura 2 mostra os resultados.

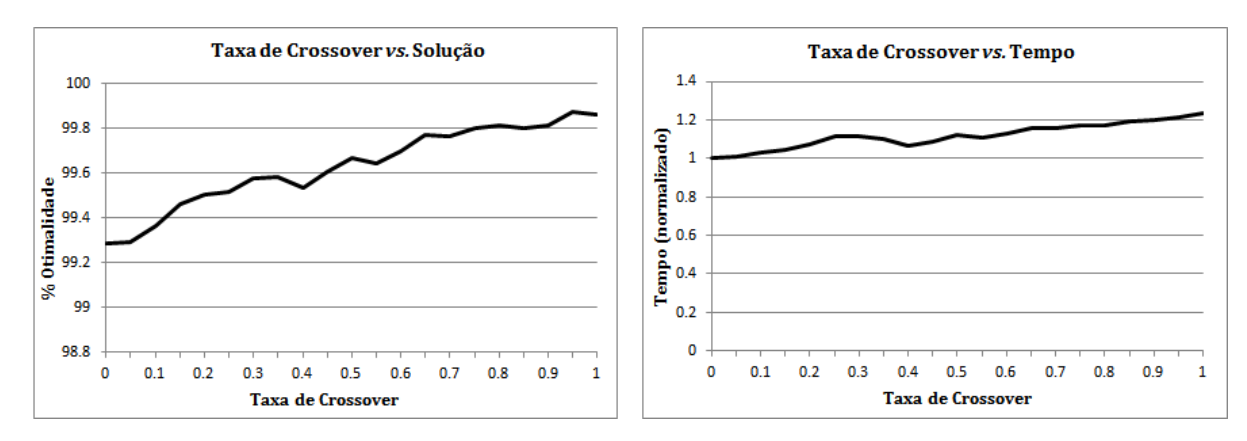


Figura 2: Variação do parâmetro crossover\_rate

Observa-se que a taxa de otimalidade, apesar de apresentar certas variações, aumenta de maneira aproximadamente linear com o crescimento da taxa de crossover, ao passo que o tempo gasto tem um aumento aparentemente linear, porém extremamente pequeno. Desta maneira, conclui-se que, quanto maior possível o valor da taxa de crossover, melhor, já que este praticamente não influi no tempo gasto.

### 7.3 Teste do parâmetro mutation\_rate

O valor de  $mutation\_rate$  foi variado entre 0.0 a 1.0, com incrementos de 0.05. O teste foi executado sem crossover, com uma população de tamanho 40, e no máximo 10 gerações não-melhorantes. A Figura 3 mostra os resultados.

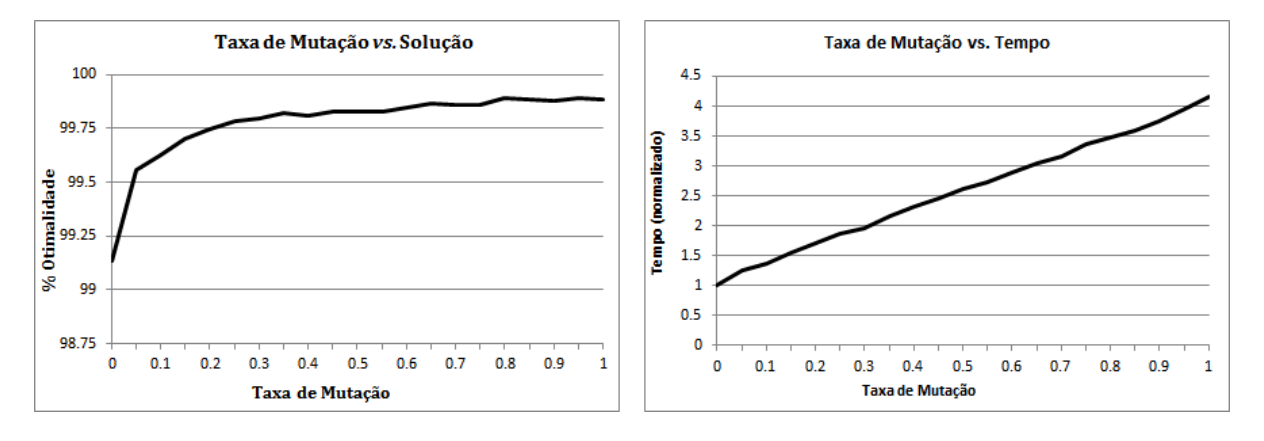
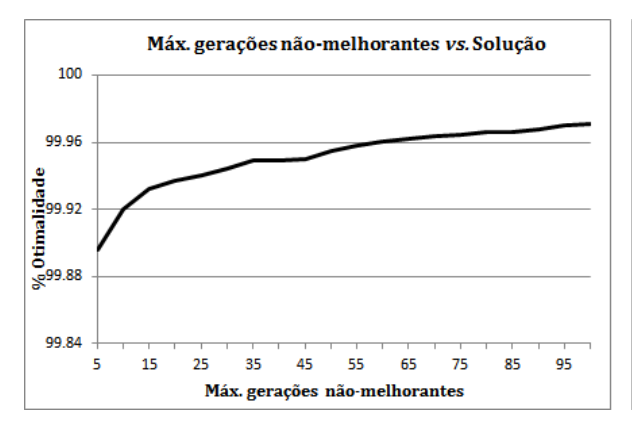


Figura 3: Variação do parâmetro mutation\_rate

Analisando os resultados, observa-se que após um certo valor para a taxa de mutação, a variação na função objetivo é praticamente imperceptível, enquanto o crescimento do tempo utilizado é claramente linear. Portanto, conclui-se que é razoável escolher um valor para a taxa de mutação de, aproximadamente, 0.3.

#### 7.4 Teste do parâmetro max\_non\_improving\_generations

O valor de  $max\_non\_improving\_generations$  foi variado entre 5 a 100, com incrementos de 5. O teste foi executado com  $crossover\_rate = 1.0$ ,  $mutation\_rate = 0.25$  e com uma população de tamanho 40. A Figura 4 mostra os resultados.



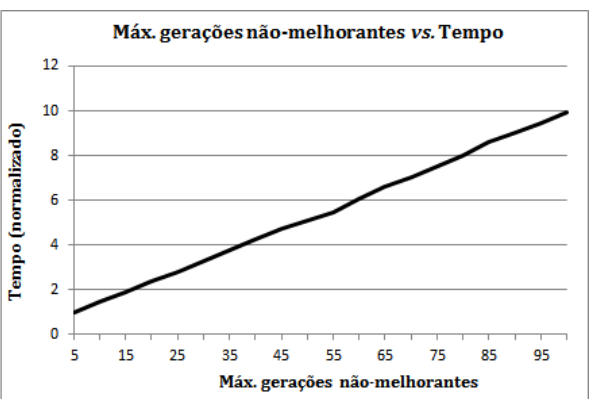


Figura 4: Variação do parâmetro max\_non\_improving\_generations

Observa-se que este parâmetro possui uma influência claramente linear no tempo de execução, e uma influência aparentemente logarítmica na qualidade da solução.

Embora em muitas aplicações seja desejável executar o algoritmo por um determinado período de tempo máximo, para valores altos de máximas gerações não-melhorantes, a solução aumenta pouco enquanto o tempo aumenta muito. Portanto, acredita-se que é mais proveitoso utilizar este tempo extra para, em lugar de calcular novas gerações, executar o algoritmo diversas vezes com sementes randômicas diferentes, para que a maior diversidade de populações iniciais facilite a exploração de novos mínimos locais.

# 8 Testes das instâncias

Neste conjunto de testes, foram testadas as instâncias N-tiw56n54, N-p50-09, N-t1d100.01m, N-atp111, N-t65l11xx, N-t2d150.02, N-t1d150.11, N-atp163, N-t2d200.14, N-t1d500.7, e N-t1d500.25, da LOLIB, disponíveis em http://www.optsicom.es/lolib/.

A Tabela 1 mostra algumas informações sobre as instâncias. Os valores referência (melhores valores conhecidos) são fornecidos pela LOLIB, enquanto os valores das soluções iniciais correspondem ao valor da solução trivial p = (1, 2, ..., n), para uma entrada de tamanho n.

Tabela 1: Valores referentes a cada instancia.					
Instância	n	Valor Referência	Solução Inicial		
N-t65l11xx	44	16719	12465		
N-p50-09	50	43711	32438		
N-tiw56n54	56	91554	24458		
N-t1d100.01	100	106852	81262		
N-atp111	111	1495	871		
N-t1d150.11	150	234157	188705		
N-t2d150.02	150	73624	42008		
N-atp163	163	2073	1283		
N-t2d200.14	200	144384	80918		
N-t1d500.25	500	2405718	2108274		
N-t1d500.7	500	2400739	2100294		

Para cada uma das instâncias, o algoritmo foi executado por exatamente 30 minutos, com três configurações diferentes. Os valores resultantes são comparados com os valores obtidos através de resolução via o solver GLPK, e com as melhores soluções conhecidas segundo a LOLIB.

#### 8.1 Teste sem busca local

Este teste consistiu em executar cada instância por 30 minutos, com parâmetros  $population\_size = 40$ ,  $crossover\_rate = 1.0$ ,  $mutation\_rate = 0.25$  e  $do\_local\_search = false$ . A ideia é avaliar o quanto a busca local influi no resultado final. A Tabela 2 mostra os resultados.

Tabela 2: Resultados do teste sem busca local

Instância	Valor	Valor Obtido	Desvio para	Desvio para	Comente
	Referência	valor Obtido	Referência (%)	Sol. Inicial (%)	Semente
N-t65l11xx	16719	16719	0.00	-34.13	1569653962
N-p50-09	43711	42186	3.49	-30.05	1874118798
N-tiw56n54	91554	91380	0.19	-273.62	4006437987
N-t1d100.01	106852	102388	4.18	-26.00	93563511
N-atp111	1495	1453	2.81	-66.82	574807814
N-t1d150.11	234157	227561	2.82	-20.59	580489168
N-t2d150.02	73624	73219	0.55	-74.30	3235512124
N-atp163	2073	2007	3.18	-56.43	2142629206
N-t2d200.14	144384	143474	0.63	-77.31	4254013499
N-t1d500.25	2405718	2309824	3.99	-9.56	1531279498
N-t1d500.7	2400739	2300565	4.17	-9.54	3090131583

## 8.2 Teste com população unitária

Este teste consistiu em executar cada instância por 30 minutos, com apenas um elemento na população, desta maneira degenerando o algoritmo para uma simples busca local. Os parâmetros utilizados foram population\_size = 1, crossover\_rate = 0.0, mutation\_rate = 0.0 e do\_local\_search = true. A ideia é comparar quão melhor é o algoritmo com parâmetros tunados do que uma busca local simples. A Tabela 3 mostra os resultados.

Tabela 3: Resultados do teste com população unitária

Instancia I	Valor	Valor Obtido	Desvio para	Desvio para	C t -
	Referência		Referência (%)	Sol. Inicial (%)	Semente
N-t65l11xx	16719	16630	0.53	-33.41	1928209974
N-p50-09	43711	41250	5.63	-27.17	985574101
N-tiw56n54	91554	91259	0.32	-273.13	3093949009
N-t1d100.01	106852	102785	3.81	-26.49	3869399849
N-atp111	1495	1428	4.48	-63.95	2790418292
N-t1d150.11	234157	226609	3.22	-20.09	4197480042
N-t2d150.02	73624	73262	0.49	-74.40	730522204
N-atp163	2073	1978	4.58	-54.17	1516259335
N-t2d200.14	144384	143660	0.50	-77.54	2678964741
N-t1d500.25	2405718	2357212	2.02	-11.81	3862427152
N-t1d500.7	2400739	2353313	1.98	-12.05	894601866

### 8.3 Teste com parâmetros tunados

Este teste consistiu em executar cada instância por 30 minutos, com os melhores valores obtidos no teste de cada parâmetro separadamente. Os parâmetros utilizados foram  $population\_size = 40$ ,  $crossover\_rate = 1.0$ ,

 $mutation\_rate = 0.25$  e  $do\_local\_search = true$ . A ideia é ver como o algoritmo se comporta com a (teoricamente) melhor configuração. A Tabela 4 mostra os resultados.

Tabela 4: Resultados do teste com parâmetros tunados

Instância	Valor	Valor Obtido	Desvio para	Desvio para	Semente
Instancia	Referência	valor Obtido	Referência (%)	Sol. Inicial (%)	
N-t65l11xx	16719	16719	0.00	-34.13	3680230590
N-p50-09	43711	43634	0.18	-34.52	1974150471
N-tiw56n54	91554	91553	0.00	-274.33	1506506657
N-t1d100.01	106852	106369	0.45	-30.90	137668471
N-atp111	1495	1488	0.47	-70.84	775729445
N-t1d150.11	234157	233130	0.44	-23.54	894377495
N-t2d150.02	73624	73586	0.05	-75.17	1661648426
N-atp163	2073	2056	0.82	-60.25	2398225556
N-t2d200.14	144384	144246	0.10	-78.26	3525590560
N-t1d500.25	2405718	2387373	0.76	-13.24	3484803453
N-t1d500.7	2400739	2382813	0.75	-13.45	2061142236

## 8.4 Execução com o solver GLPK

Os seguintes testes consistiram em executar o programa inteiro formulado no solver GLPK, com um tempo limite de 30 minutos. A versão utilizada do solver foi 4.52, para Windows 64 bits. A ideia é comparar os resultados obtidos pela meta-heurística com os obtidos via solver. A Tabela 5 mostra os resultados. As linhas com solução zero significam que o solver não conseguiu encontrar nenhuma solução inteira factível no tempo alocado.

Tabela 5: Resultados do teste com o solver

Valor Desvio para Desvio para					
Instância	Valor	Valor Obtido	_	_	
	Referência	Valor Obtiao	Referência (%)	Sol. Inicial (%)	
N-t65l11xx	16719	16719	0.00	-34.13	
N-p50-09	43711	42612	2.51	-31.36	
N-tiw56n54	91554	91554	0.00	-274.33	
N-t1d100.01	106852	0	100.00	100.00	
N-atp111	1495	0	100.00	100.00	
N-t1d150.11	234157	0	100.00	100.00	
N-t2d150.02	73624	0	100.00	100.00	
N-atp163	2073	0	100.00	100.00	
N-t2d200.14	144384	0	100.00	100.00	
N-t1d500.7	2400739	0	100.00	100.00	
N-t1d500.25	2405718	0	100.00	100.00	

Observa-se que, para a maioria das instâncias, é impraticável utilizar a solução via solver, já que o número de restrições criadas é muito grande.

#### 8.5 Comparação dos testes das instâncias

As Figuras 8.5, 8.5, 8.5 e 8.5 mostram os resultados dos testes para cada instâncias, comparando as diferentes configurações. Observa-se que a configuração com os parâmetros devidamente tunados tem uma performance muito superior às outras. Para algumas instâncias, a excecução com tamanho de população 1 é melhor do que a sem busca local, porém, a sem busca local fica em segundo lugar na maioria dos casos.

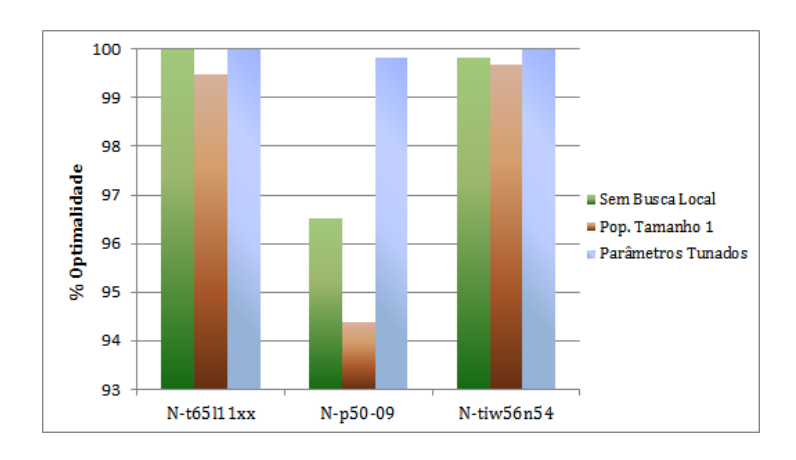


Figura 5: Comparação das configurações para N-t65l11xx, N-p50-09 e N-tiw56n54

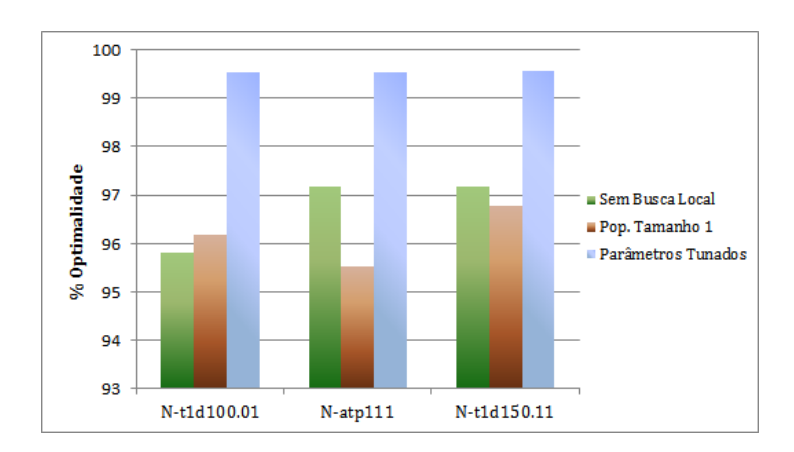


Figura 6: Comparação das configurações para N-t1d100.01, N-atp111 e N-t1d150.11

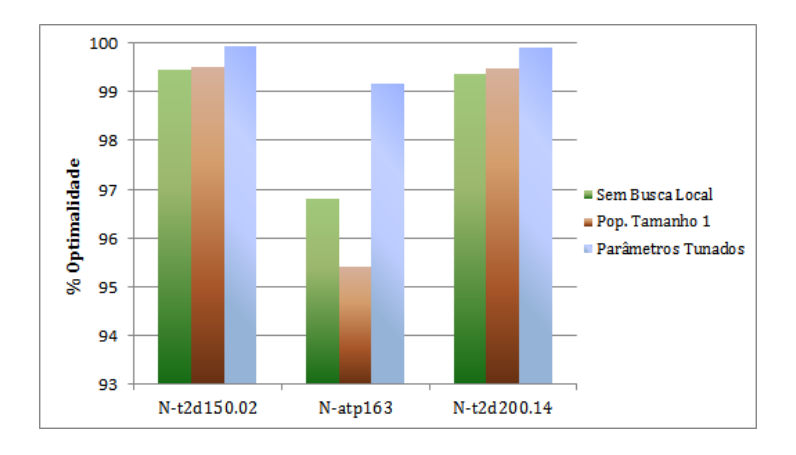


Figura 7: Comparação das configurações para N-t2d150.02, N-atp163 e N-t2d200.14

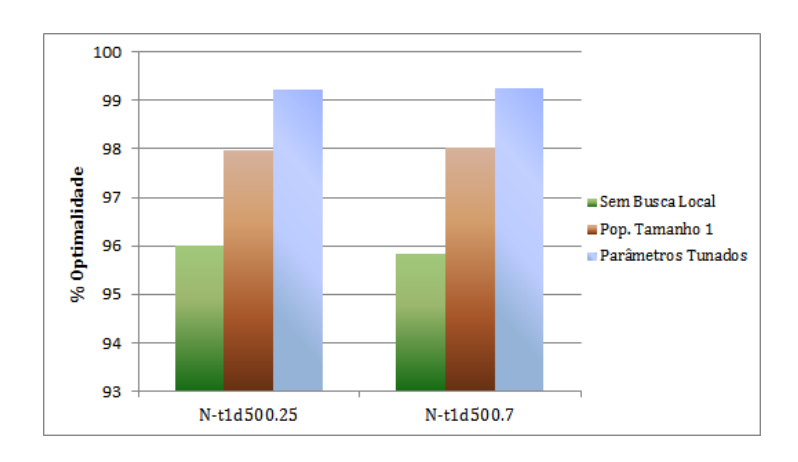


Figura 8: Comparação das configurações para N-t1d100.7 e N-t1d500.25

# 9 Conclusão

Considera-se que o algoritmo teve uma performance relativamente boa, chegando a um fator de otimalidade acima de 99% para todas as instâncias testadas. Conclui-se que, para entradas grandes, é muito mais vantajoso buscar uma solução aproximada via meta-heurística do que uma solução exata via solver.

Através dos testes para cada parâmetro separadamente, propõe-se uma melhor configuração para o algoritmo:  $do\_local\_search = true$ ,  $population\_size = 40$ ,  $crossover\_rate = 1.0$ , e  $mutation\_rate = 0.25$ .

A codificação do algoritmo foi relativamente simples, e foi possível realizar diversas otimizações a nível de código. O fato de o algoritmo poder ser paralelizado também consiste em uma grande vantagem.

Se os experimentos fossem executados por maior tempo, possivelmente poderia se conseguir resultados muito melhores, chegando talvez à otimalidade em alguns casos.

Tendo em vista os pontos citados acima, considera-se que o trabalho, como um todo, foi bem-sucedido.

### Referências

- [1] Huang, G., Lim, A.: Designing a Hybrid Genetic Algorithm for the Linear Ordering Problem, *Proceedings* of the Genetic and Evolutionary Computation Conference (GECCO-2003), Lecture Notes in Computer Science 2723, 2003, pp. 1053-1064.
- [2] G. Syswerda: Schedule Optimization Using Genetic Algorithms, in L.Davis (Ed.). Handbook of Genetic Algorithms, pp. 332–349, New York, (1991)
- [3] Deep, K., Mebrahtu, H. New Variations of Order Crossover for Travelling Salesman Problem. IJCOPI Vol. 2, No. 1, Jan-April 2011, pp. 2-13.
- [4] Martí, R., Reinelt, G.: The Linear Ordering Problem. Exact and Heuristic Methods in Combinatorial Optimization. Springer, Heidelberg (2011)
- [5] R.M. Karp: Reducibility among combinatorial problems, R.E. Miller e J.W. Thatcher (Eds.), Complexity of Computer Computations, pp. 85-103, New York (1972)